

## 論文の内容の要旨

論文題目： **Splitting of Singular Fibers in Certain Holomorphic Fibrations**  
(ある正則ファイバー空間内にある、特異ファイバーの分裂について)

氏名： 伊東 利雄

リーマン面の退化族に現れる複雑な形をした特異ファイバーを、いくつかのより単純な特異ファイバーに分裂させる問題が興味をもたれている。とくにこれ以上分裂しない、いわゆる「原子ファイバー」の形状の決定は重要である。

例えば種数が2の場合、[Ho1] および [AA] により既に「原子ファイバー」が決定されていて、種数2の「原子ファイバー」は2種類しかない事が分かっている。また種数が2より大きい場合、[AA] により退化超楕円曲線に対する「原子ファイバー」の形状が徐々に決定されつつある。

「原子ファイバー」の形状の決定は重要な問題であるが、特異ファイバーの分裂に伴ってその特異ファイバーの周りの位相的モノドロミーがどのように分解するのか、という事も興味深い問題である。

そこで筆者はある具体的な種数  $g$  の特異ファイバーを取り上げ、この特異ファイバーがどのような原始ファイバーに分裂するのか、また位相的モノドロミーがどのように分解するのかについて研究した。

### 1. 本論文の内容

題目 **Splitting of Singular Fibers in Certain Holomorphic Fibrations**  
(ある正則ファイバー空間内にある、特異ファイバーの分裂について)

$\Sigma_g$  を種数  $g$  の閉曲面とし  $\omega_g : \Sigma_g \rightarrow \Sigma_g$  を図 1 の様な hyperelliptic involution とする。

また  $\tau : S^2 \rightarrow S^2$  を  $S^2$  の南極と北極を通る軸の周りの 180 度回転とする。この時商空間  $\Sigma_g \times S^2 / \omega_g \times \tau$  は  $2(2g+2)$  個の特異点を持つ。そこでこれらの特異点をブローアップすることにより複素曲面  $M_g$  を得る。この複素曲面  $M_g$  は  $\mathbb{CP}^2 \# (4g+5)\overline{\mathbb{CP}^2}$  に微分同相となる。

そして  $\Sigma_g \times S^2$  の第 2 成分への射影  $\Sigma_g \times S^2 \rightarrow S^2$  から自然に射影  $f_g : M_g \rightarrow S^2 / \tau \cong S^2$  が誘導される。この射影  $f_g$  より複素曲面  $M_g$  には  $S^2$  を底空間とする種数  $g$  の holomorphic fibration の構造が入る。

この holomorphic fibration  $f_g : M_g \rightarrow S^2$  は  $\tau$  の 2 つの固定点に対応して 2 本の特異ファイバーがあり、それらの位相形は共に同じになる。また各特異ファイバーの周りの位相的モノドロミーは hyperelliptic involution  $\omega_g$  によって与えられる。それ故これら 2 本の特異ファイバーを同じ記号  $F_{\omega_g}$  によって表わす事にする。ここで  $F_{\omega_g}$  の形を図 2 に表わす。図 2 内の各線分は  $S^2$  を表し添字は重複度を表す。

筆者はこの特異ファイバー  $F_{\omega_g}$  がどのような Lefschetz 型の特異ファイバーに分裂するのか、またその分裂に伴って  $F_{\omega_g}$  の位相的モノドロミー  $\omega_g$  がどのように分解するのかについて調べた。

特異ファイバー  $F_{\omega_g}$  の分裂を調べる為に、まず始めに特異ファイバー  $F_{\omega_g}$  を含む種数  $g$  のリーマン面の退化族を具体的に構成する。すなわち次のものを具体的に構成する。

$N$  を noncompact complex surface とし  $D$  を  $\mathbb{C}$  内の原点を中心を持つ open disk とする。また  $\varphi : N \rightarrow D$  は次の条件を満たす proper surjective holomorphic map とする。

1.  $\varphi|_{\varphi^{-1}(D \setminus \{0\})} : \varphi^{-1}(D \setminus \{0\}) \rightarrow D \setminus \{0\}$  はファイバー  $\Sigma_g$  を持つファイバーバンドル、
2.  $\varphi^{-1}(0) = F_{\omega_g}$ .

そして本論文における主な結果は次のとおりである。

主定理:

あるパラメータによって  $\varphi$  を perturb し  $N$  の複素構造を変形させると、特異ファイバー  $F_{\omega_g}$  は  $2g$  本の  $I$  型の Lefschetz 特異ファイバーと Lefschetz 型ではない特異ファイバー  $F'$  へと分裂する。さらに特異ファイバー  $F'$  は  $F'$  の小さな近傍内で  $2g+2$  本の  $I$  型の Lefschetz 特異ファイバーへと分裂する。

それ故、特異ファイバー  $F_{\omega_g}$  は  $2(2g+1)$  本の  $I$  型の Lefschetz 特異ファイバーへと分裂する。

$b_1, b_2, \dots, b_{2(2g+1)}$  を 2 回の分裂によって得られた  $D$  内の新しい critical value 達とする。そして基準点として  $D$  内の 0 に近い正の実数  $b_0$  を 1 つ固定し、図 3 に示されたループ達をとる。

この時、図 4 に示された elementary transformation を何回か行って図 3 に示されたループ達を変形させてやると、モノドロミー表現  $\rho : \pi_1(D \setminus \{b_1, \dots, b_{2(2g+1)}\}, b_0) \rightarrow \mathcal{M}_g$  は次の  $2(2g+1)$ -tuple によって表わされる。

$$(\zeta_1, \zeta_2, \zeta_3, \dots, \zeta_{2g}, \zeta_{2g+1}, \zeta_{2g+1}, \zeta_{2g}, \dots, \zeta_3, \zeta_2, \zeta_1).$$

ここで  $M_g$  は種数  $g$  の写像類群を表し、 $\zeta_i$  は図 5 に示された単純閉曲線  $C_i$  に沿った  $(-1)$  回の Dehn Twist を表す。

それ故  $F_{\omega_g}$  のモノドロミー  $\omega_g$  は

$$\omega_g = \zeta_1 \zeta_2 \zeta_3 \cdots \zeta_{2g} \zeta_{2g+1}^2 \zeta_{2g} \cdots \zeta_3 \zeta_2 \zeta_1$$

のように分解する。

以上が主定理のステートメントである。

上の主定理は [Ma2] の Fact 1 で述べられている特異ファイバー  $F_{\omega_2}$  の分裂に関する結果の一般化である。筆者は研究の初期の段階で、種数  $g$  が小さい時の特異ファイバー  $F_{\omega_g}$  の分裂について調べた。その際、分裂によって得られた新しい特異ファイバー達に関する消滅サイクルを調べる為に *Mathematica* を使った。しかし本論文の証明の中で *Mathematica* を使う所はない。研究の初期の段階において何処で *Mathematica* を使ったのかは本論文の Remark 8.2 を参照していただきたい。

さて holomorphic fibration  $f_g: M_g \rightarrow S^2$  に話を戻す。 $M_g$  は  $\mathbb{CP}^2 \# (4g+5)\overline{\mathbb{CP}^2}$  に微分同相であり、holomorphic fibration  $f_g: M_g \rightarrow S^2$  は 2 本の特異ファイバー  $F_{\omega_g}$  を持っていた。そこでこれら 2 本の特異ファイバーをそれぞれ分裂させることにより次の系を得る。

系:

2 本の特異ファイバー  $F_{\omega_g}$  の分裂により  $4(2g+1)$  本の  $I$  型の特異ファイバーを持つ種数  $g$  の Lefschetz fibration

$$\mathbb{CP}^2 \# (4g+5)\overline{\mathbb{CP}^2} \rightarrow S^2$$

が得られる。

また対応するモノドロミー表現は  $4(2g+1)$ -tuple

$$(\zeta_1, \zeta_2, \dots, \zeta_{2g}, \zeta_{2g+1}, \zeta_{2g+1}, \zeta_{2g}, \dots, \zeta_2, \zeta_1, \zeta_1, \zeta_2, \dots, \zeta_{2g}, \zeta_{2g+1}, \zeta_{2g+1}, \zeta_{2g}, \dots, \zeta_2, \zeta_1)$$

で与えられる。それ故全体のモノドロミーは

$$(\zeta_1 \zeta_2 \zeta_3 \cdots \zeta_{2g} \zeta_{2g+1}^2 \zeta_{2g} \cdots \zeta_3 \zeta_2 \zeta_1)^2 = 1$$

となる。この関係式は種数  $g$  の写像類群  $M_g$  のよく知られた関係式になる。

### 謝辞

本論文作成に際して、指導教官の松本幸夫先生から多大な助言、御指導をいただきました。心より深く感謝すると共にお礼申し上げます。

### REFERENCES

- [AA] T. Arakawa and T. Ashikaga, *Local splitting families of hyperelliptic pencils, I*, preprint.
- [B] J. Birman, *Braids, links, and mapping class groups*, Princeton Univ. Press, Princeton, N. J. USA., (1974).
- [Hol] E. Horikawa, *Local deformation of pencils of curves of genus two*, Proc. Japan Acad. Ser. A, Math. Sci., **64** (1988), 241–244.

- [Ma1] Y. Matsumoto, *Diffeomorphism types of elliptic surfaces*, *Topology* **25** (1986), 549–563.
- [Ma2] Y. Matsumoto, *Lefschetz fibrations of genus two – a topological approach –*, Proceedings of the 37th Taniguchi Symposium on Topology and Teichmüller Spaces, ed. Sadayoshi Kojima et al., World Scientific Publishing Co. (1996), 123–148.
- [Ma3] Y. Matsumoto, *Topology of torus fibrations*, *Sugaku* **36** (1984), 289–301 (in Japanese).
- [Ma4] Y. Matsumoto, *Torus fibrations over the 2-sphere with the simplest singular fibers*, *J. Math. Soc. Japan* **37** (1985), 603–633.
- [Ma5] Y. Matsumoto, *Splitting of certain singular fibers of genus 2*, preprint.
- [MM1] Y. Matsumoto and J. M. Montesinos-Amilibia, *Pseudo-periodic homeomorphisms and degeneration of Riemann surfaces*, *Bull. AMS.* **30** (1994), 70–75.
- [MM2] Y. Matsumoto and J. M. Montesinos-Amilibia, *Pseudo-periodic maps and degeneration of Riemann surfaces. I, II*, preprint, University of Tokyo and Universidad Complutense de Madrid (1991/1992).
- [Mo] B. Moishezon, *Complex surfaces and connected sums of complex projective planes*, Lecture Note in Math. **603**, Springer Verlag (1977).

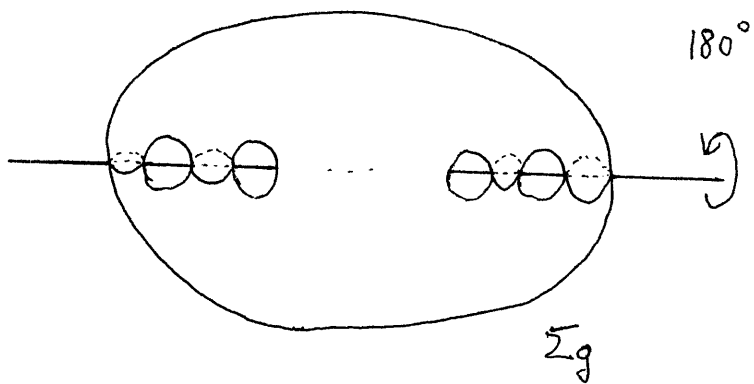
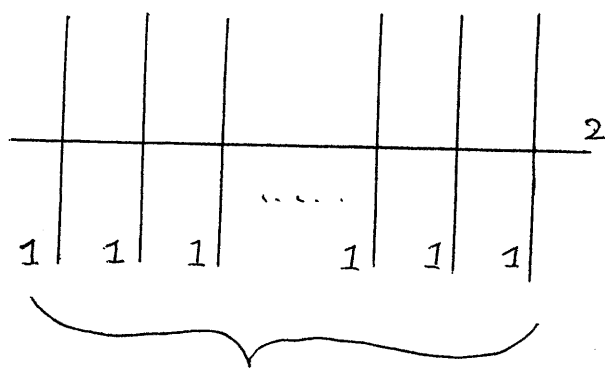


图 1



$2g+2$  的  $S^2$

图 2

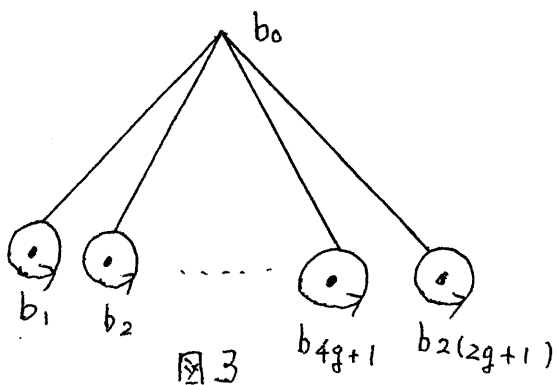


图 3

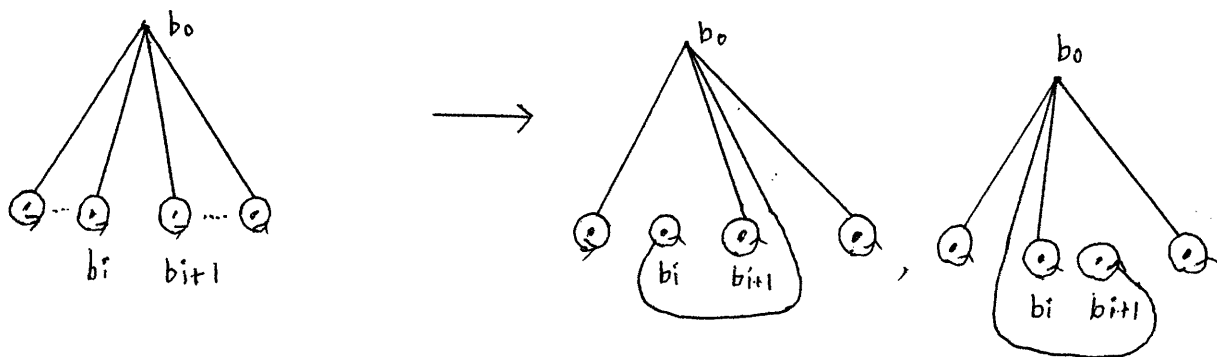


图 4

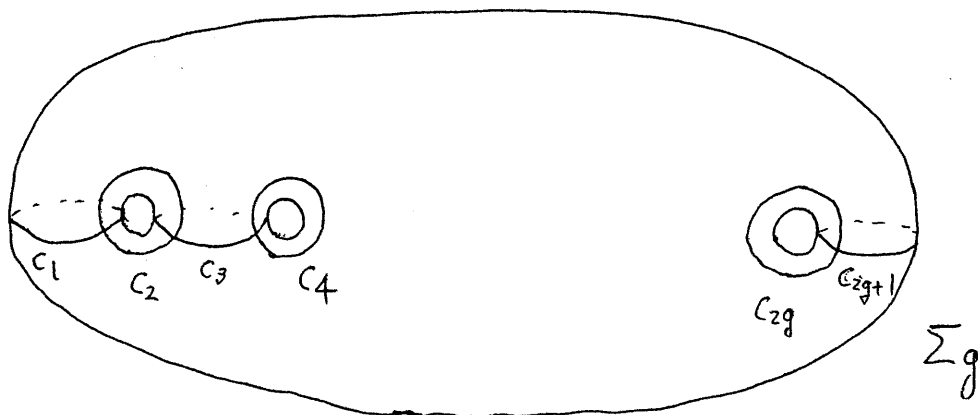


图 5